

## Partial Sequence of the Crystal Protein Gene

AAGTGGATTATATAATAAGTAAAGCTTAAAATAAGCTTAACGGAATACAMCCCTAAATGCCATTGGTTAAACATTGTAAAGTCATAA  
 100  
 CCATGGATAATGGCCACAGTAAGTAGATTGTTAACACCCCTGGCTCAAAAATGATATTAGTAAATTAGTTGCACITTTGTCATTTTTGATAAAGAT  
 200  
 CAGTCATAATGTTTAAATTCAGTAAATGCAAAAACAGTAAATCATATACTGAAATTGGTATCTTAAATAAAAGAGATGGAGCTAACTTATGGATAAACATCC  
 300  
 MetAspAsnAsnPr  
 GAAACATCAATGCAATGCCATTCCCTATAATTGTTAAAGTAAACCTGAAAGTAGAAGTATTAGGTGGAGAAAGAATAAGAAACTGGTACACCCCCAATCGATAAT  
 400  
 DAsnIleAlaGluCysIleProTyRAsnCysLeuSerAsnProGlyValGluValLeuGlyGlyGluArgIleGluThrGlyTyRThrProIleAspIle  
 TCCCTGGCTCAACCCAATTCTCTTGGAGTGAAATTGGTCCCGGTGCTGGATTGTTAGGACTAGTTGATATAATATGGGAATAATTGGTCCCTCTC  
 SerLeuSerLeuThrGluPheLeuLeuSerGlyIleValProGlyAlaIleIleGlyLeuValAspIleIleIleTrpGlyIleIleGlyProSerG  
 AATGGGGACGGATTCTGTGACCAAATTGAAACAGTAAATTAAACCAAGAAATAAGAAGAAATTCCGCTAGGAAACCAAGGAAATTCTAGATTAGAACCCATTAGGAA  
 600  
 IeTrpAspIlePheLeuValGlyIleGluGlnLeuIleAsnGlnArgIleGluGluPheAlaArgAsnGlnIleIleSerArgLeuGlyLeuSerAs  
 TCTTATCAAAATTACGGACAGAACTTTAGAGAGTGGAAAGCAGATCTACTAAATCCAGGATTAACAGAAAGAGATGGGTATTCAATTCAATCACATGAA  
 700  
 AlLeuIyGlnIleIleTyRAlaGlyUserPheArgGlyValGluIleAspProIleLeuArgGlyGluIleAspIleIleGlyIleIleGlyLeuSerAspMetAsn  
 AGTGGCCCTTACAACCCGTTACCTCTTCCAGGTCATAATTATCAGTTCCCTCTTTATCAGTATACTGTTCAAGCTGCAAATTACATTATCAGTTT  
 800  
 SerAsnLeuThrThrAlaIleProLeuPheAlaValGlnAsnIleTyRGlwIleIleProLeuSerValTyRValGlnAlaIleAsnAsnLeuIleSerVal  
 TGAGAGATGTTTCACTGTTGGACAAAGGTGGGATTGATGGCCGCACTAGCAATACTGCTTATAATGATTAACTAGGCTTATTGGCAACTATAACAGA  
 900  
 euArgAspValSerValPheGlyGlnArgIlePheAspAlaAlaIleThrSerAsnSerArgTyRAsnAspLeuThrArgLeuIleGlyAsnTyrThrAs  
 TTAATGCTTACGGCTGGTACAAATAACGGGATTAGAACGTTGATGGGACCCGATTCTAGAGATTGGGTAAAGCTATAATCAATTAGAACGAAATTAAACACTA  
 1000  
 pTyRAlaValArgTrpTyRAsnThrGlyLeuGlyArgValTrpGlyProAspSerArgIlePheValArgTyRAsnGlnPheArgArgGlyLeuThrIle  
 ACTGTTATCAATCGTCTCTCTGTTCCCGAAATTATCAGTACAGAACATATCCTAACTGGGAACTTCCCAAAATAACAGAGAAATTATACAAACCCAG  
 1100  
 ThrValLeuAspIleValAlaLeuPheProAsnIleTyRAspIleSerArgArgIleIleProIleArgThrValSerGlyLeuThrArgGlyIleIleTyrThrAsnPro  
 TATTAGAAATAATTGATGGTATTTCGAGGCTCGGCTCAGGGCATAGAAAGAAGTATTAGGAGTTCACTTTGATGGATAACTTAAACAGTATAACCAT  
 1200  
 AsnLeuGlyAsnPheAspGlySerPheArgGlySerAlaGlnGlyIleGluArgSerSerHisLeuAsnAspIleLeuAsnSerIleThrIle  
 CTATACGGATGCTCATACGGCTTATTCTGTCAGGGCATCAAAATAATGGCTTCTCTGCTAGGGTTTCGGGGCCAGAATTCACTTTCCGCTATAT  
 1300  
 eTyRThrAspAlaHisArgGlyIleIleIleProGlyIleIleSerGlyHisGlnIleMetAlaSerProValGlyProGlyIlePheThrPheProLeuIleTyr  
 CGGAATATGGAAATGGCCTECACAAACAGCTATGTTGCTCAACTAGGTCAAGGGGTGTTAGAACATTATGCTTCACTTTATATAAGAACCCCTTTA  
 1400  
 GlyIleGlyAsnAlaIleAlaIleProGlyGlnArgIleValAlaGlnLeuGlyGlnGlyValTyRArgThrLeuSerSerThrLeuIleTyrArgArgProAsp  
 ATATAGGGATAAAATAATCAACAACTATCTGTTGACGGGACAGAATTGCTTATGGAACTTCTCTCAAAATTGGCCATCCGCTGATAACACAAAAACCG  
 1500  
 AsnIleGlyIleAsnAsnGlnGlnLeuSerValLeuAspGlyThrGlyIleAlaTyrGlyThrSerSerAsnLeuProSerAlaValTyrArgGlySerG

FIG. 1 - 1

BEST AVAILABLE COPY

08/478153

3116

FIG. 1 - 2

BEST AVAILABLE COPY

08/478153

Map of pTi15955 T-DNA

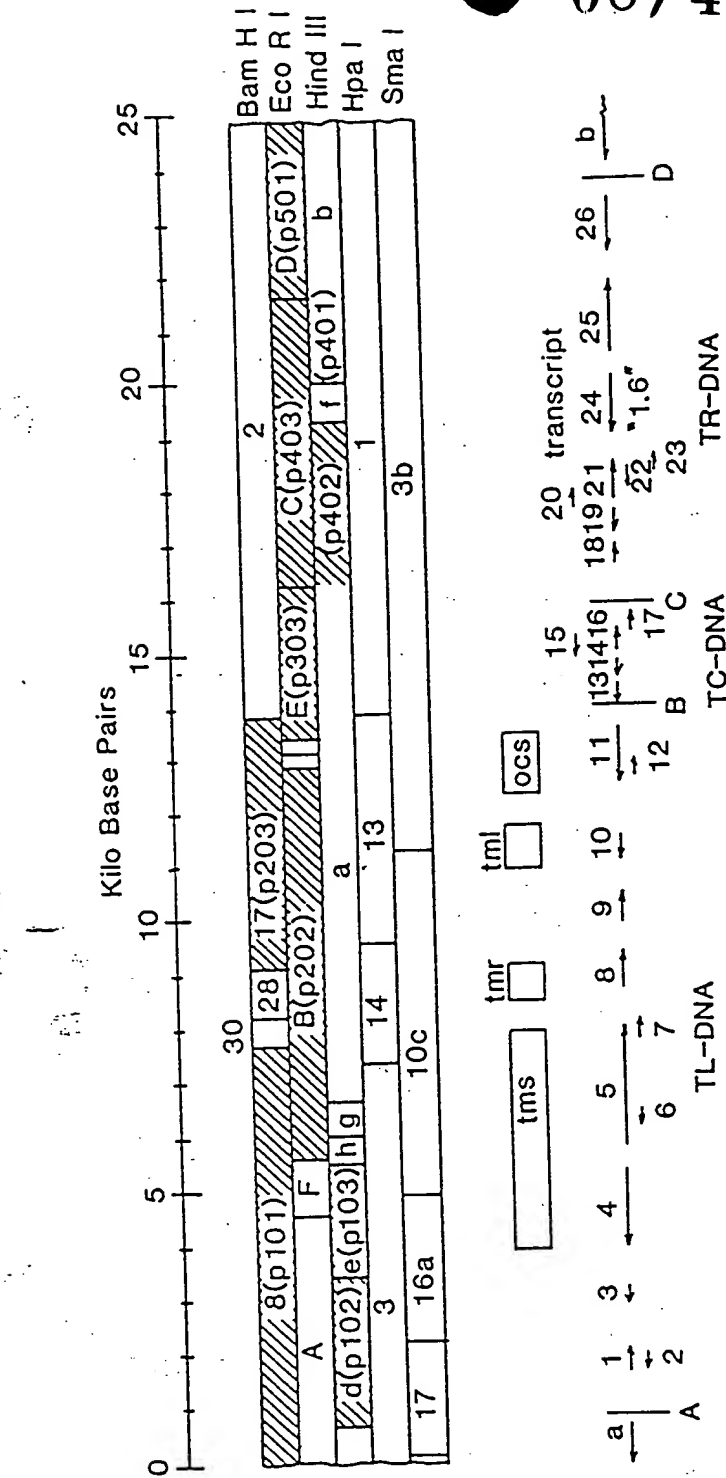


FIG. 2

BEST AVAILABLE COPY

08/478153

R = Eco R I  
C = Cla I  
H = Hind III  
B = Bam H I

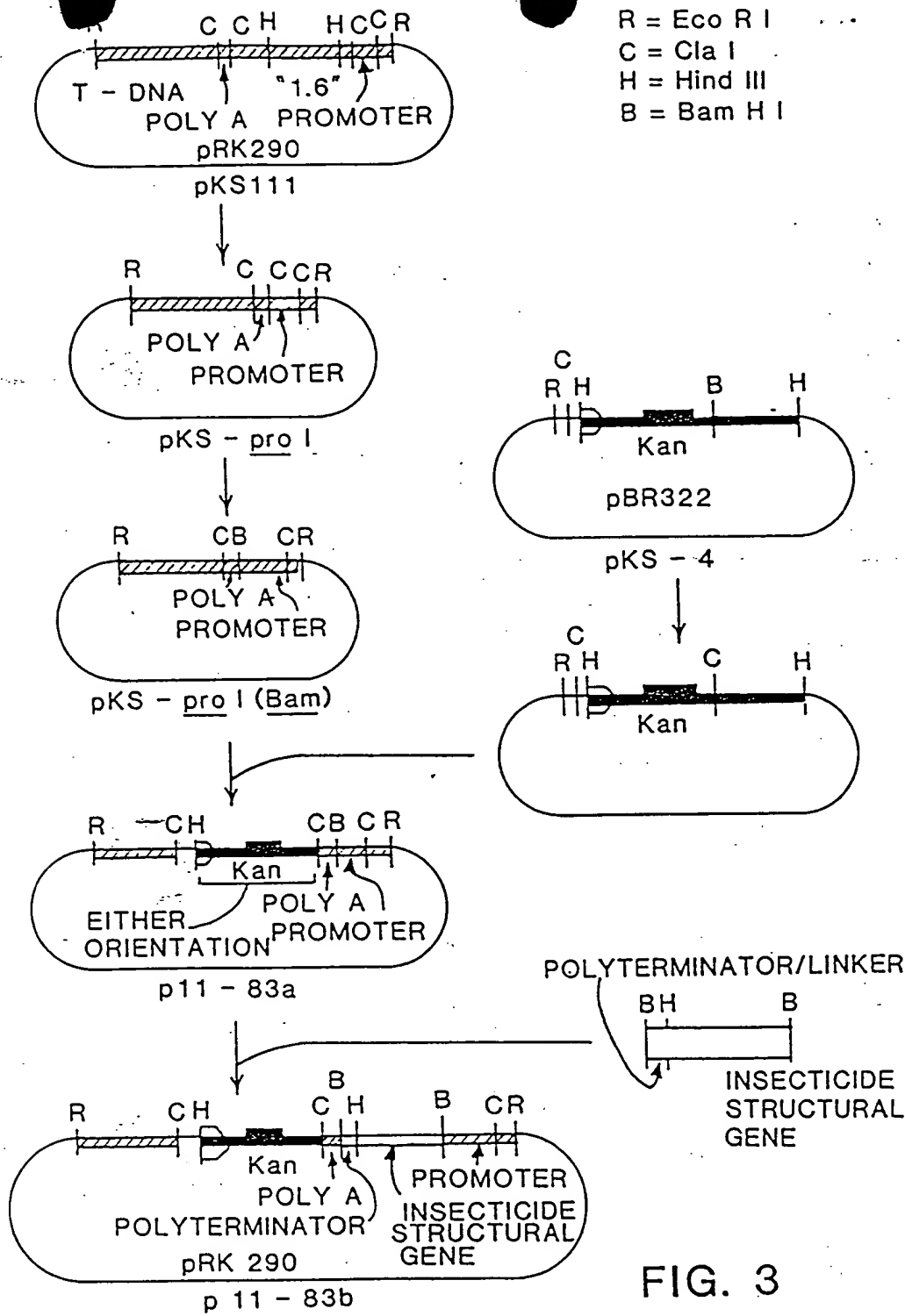


FIG. 3

BEST AVAILABLE COPY